

空气与气体动力学

张科

回顾：

1.边界层方程；
$$\begin{cases} \frac{\partial u}{\partial x} + \frac{\partial v}{\partial y} = 0 \\ u \frac{\partial u}{\partial x} + v \frac{\partial u}{\partial y} = -\frac{1}{\rho} \frac{dp}{dx} + \nu \frac{\partial^2 u}{\partial y^2} \end{cases}$$

2.平板边界层Blasius精确解：

$$\frac{\delta}{x} = \frac{5}{\sqrt{Re_x}} \quad \frac{\delta^*}{x} = \frac{1.72}{\sqrt{Re_x}} \quad \frac{\theta}{x} = \frac{0.664}{\sqrt{Re_x}} \quad C_f = \frac{0.664}{\sqrt{Re_x}} \quad C_D = \frac{1.328}{\sqrt{Re_L}} \quad H = \frac{\delta^*}{\theta} = 2.59$$

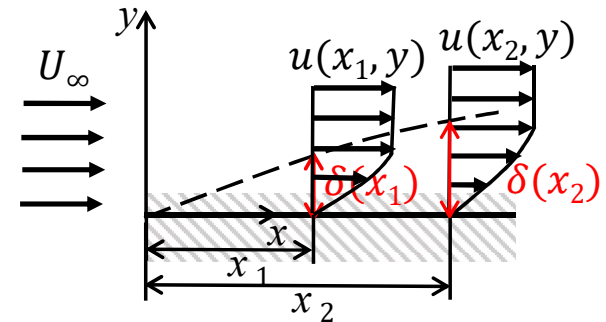
$H \downarrow$ ，速度分布更贴近壁面，更饱满。

湍流边界层 $H = 1.3$

6.7 边界层方程 (10.2, 10.3)

② 平板边界层(Blasius精确解)：

$$\begin{cases} \frac{\partial u}{\partial x} + \frac{\partial v}{\partial y} = 0 \\ u \frac{\partial u}{\partial x} + v \frac{\partial u}{\partial y} = \nu \frac{\partial^2 u}{\partial y^2} \end{cases} \quad \eta = \frac{y}{\sqrt{\frac{\nu x}{U_\infty}}} \quad \frac{u}{U_\infty} = f'(\eta) \quad \longrightarrow \quad f''' + \frac{1}{2} f f' = 0$$

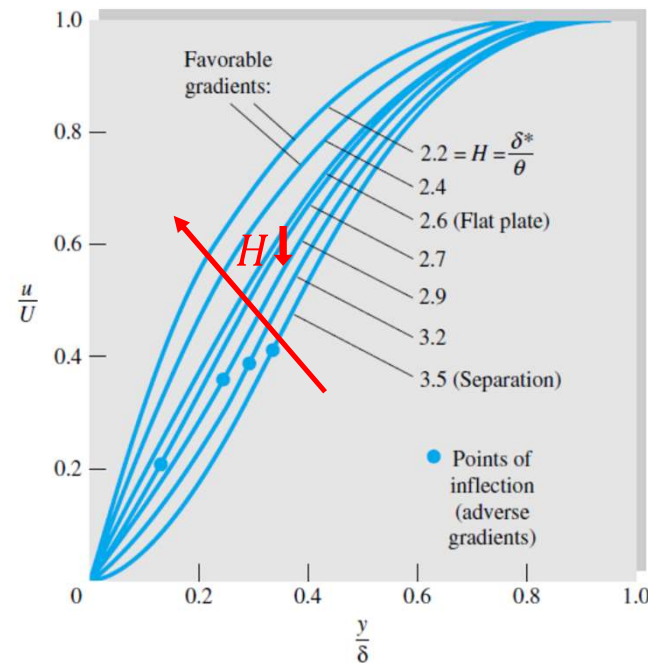


Blasius 方程 (1908)

➤ 形状因子：

$$H = \frac{\delta^*}{\theta} = \frac{1.721}{0.664} = 2.59$$

$H \downarrow$ ，速度分布更
贴近壁面，更饱满



6.7 边界层方程 (10.2, 10.3)

② 平板边界层：

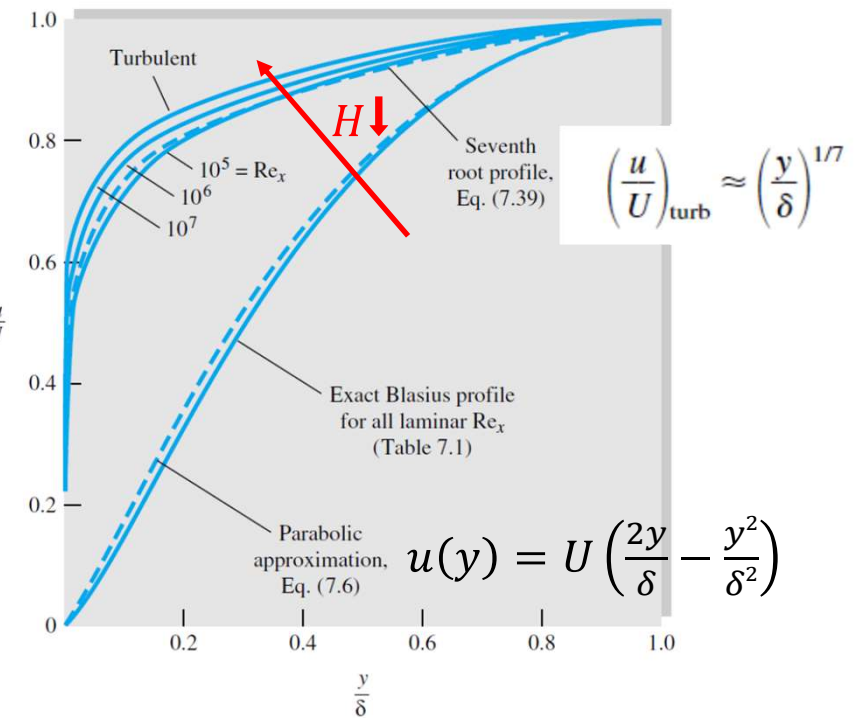
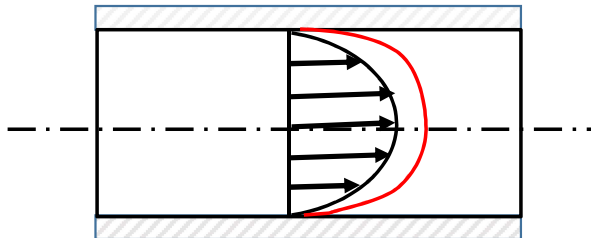
$$\begin{cases} \frac{\partial u}{\partial x} + \frac{\partial v}{\partial y} = 0 \\ u \frac{\partial u}{\partial x} + v \frac{\partial u}{\partial y} = \nu \frac{\partial^2 u}{\partial y^2} \end{cases}$$

湍流：P402~P404.

$$\frac{\delta}{x} = \frac{0.16}{Re_x^{1/7}} \quad C_f = \frac{0.027}{Re_x^{1/7}}$$

$$\frac{\delta^*}{x} = \frac{1}{8} \delta \quad H = 1.3$$

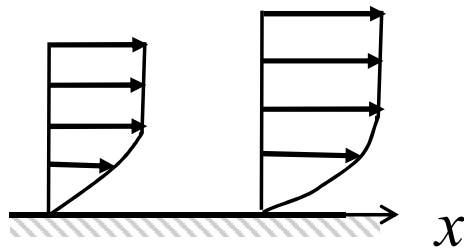
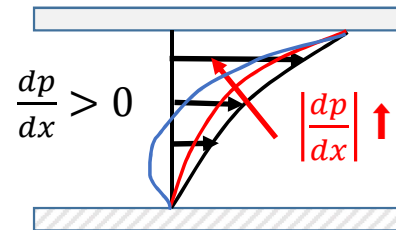
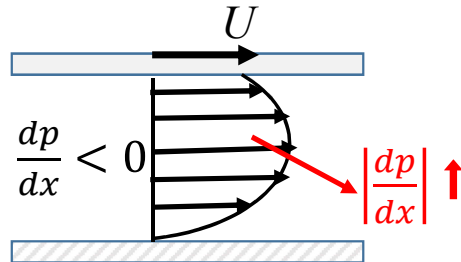
$$C_D = \frac{0.031}{Re_L^{1/7}} = \frac{7}{6} c_f(L)$$



$H \downarrow$ ，速度分布更贴近壁面，更饱满

6.7 边界层方程 (10.2, 10.3)

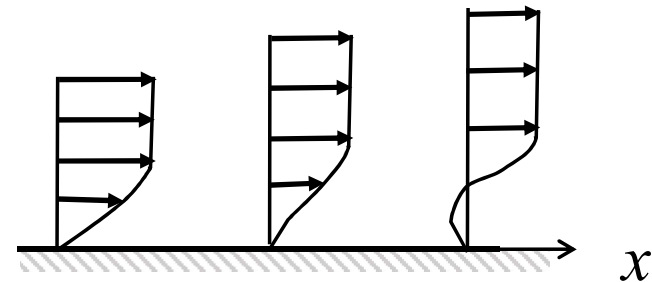
③ $\frac{dp}{dx} \neq 0$:



顺压 : $\frac{dp}{dx} < 0$

$$U \frac{dU}{dx} = -\rho \frac{dp}{dx} > 0$$

主流加速, 速度分布更饱满(H↓)
流动更稳定 (不分离), 阻力更大!

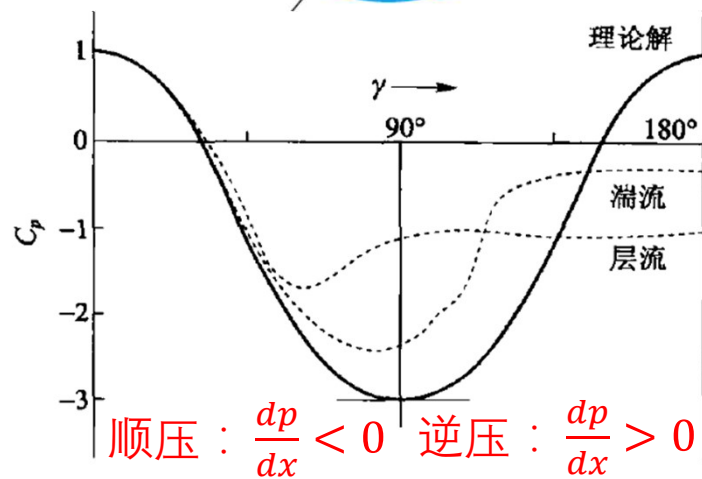
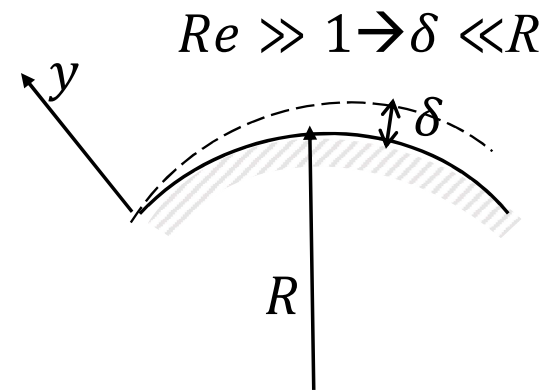
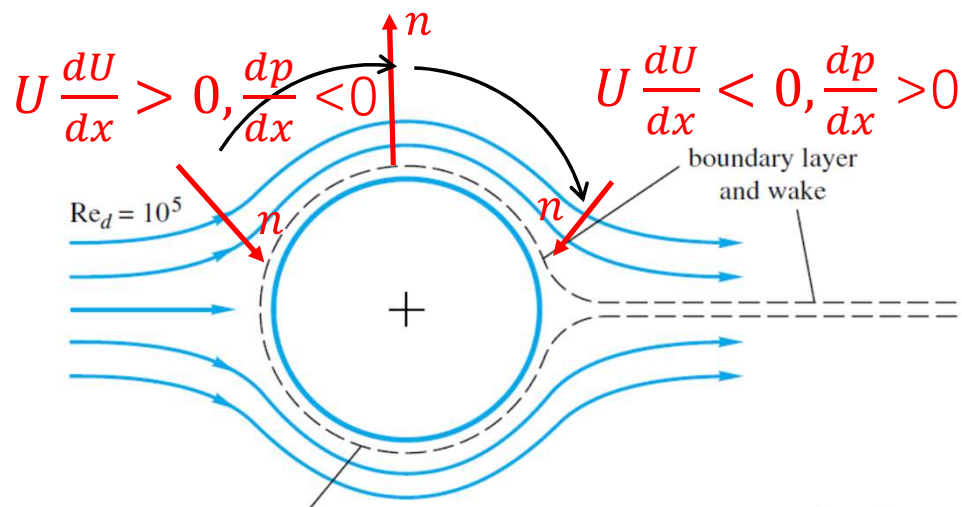


逆压 : $\frac{dp}{dx} > 0$ 流动分离点 : $\tau_w = 0$

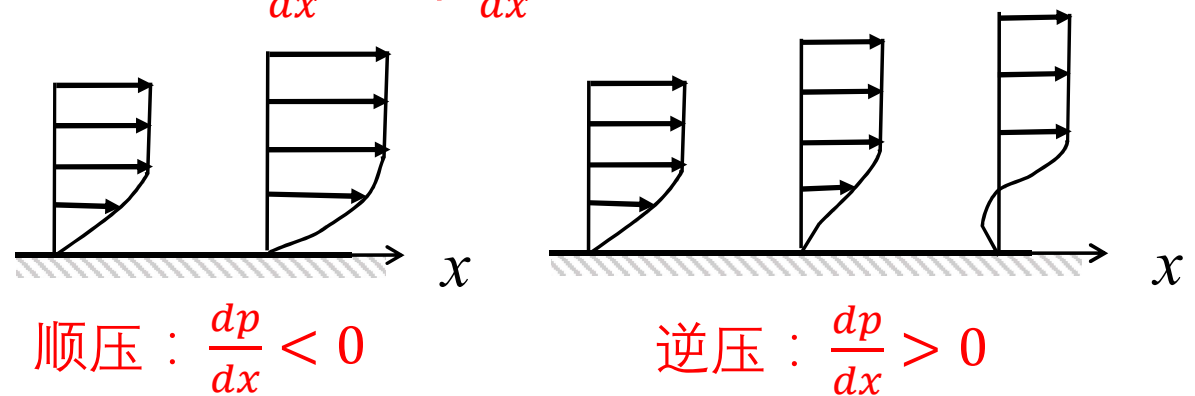
$$U \frac{dU}{dx} = -\rho \frac{dp}{dx} < 0 \quad \left. \frac{\partial u}{\partial y} \right|_{y=0} = 0$$

主流减速, 速度分布更不饱满(H↑)
流动不稳定 (易分离), 阻力更小!

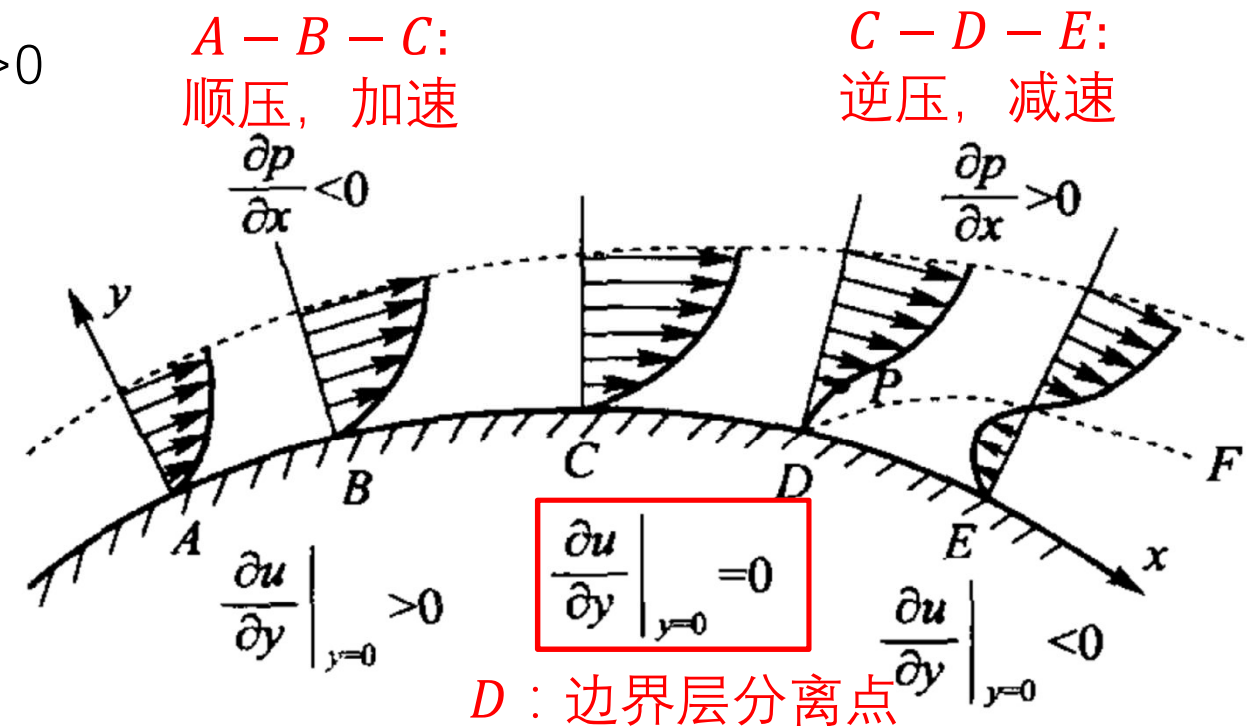
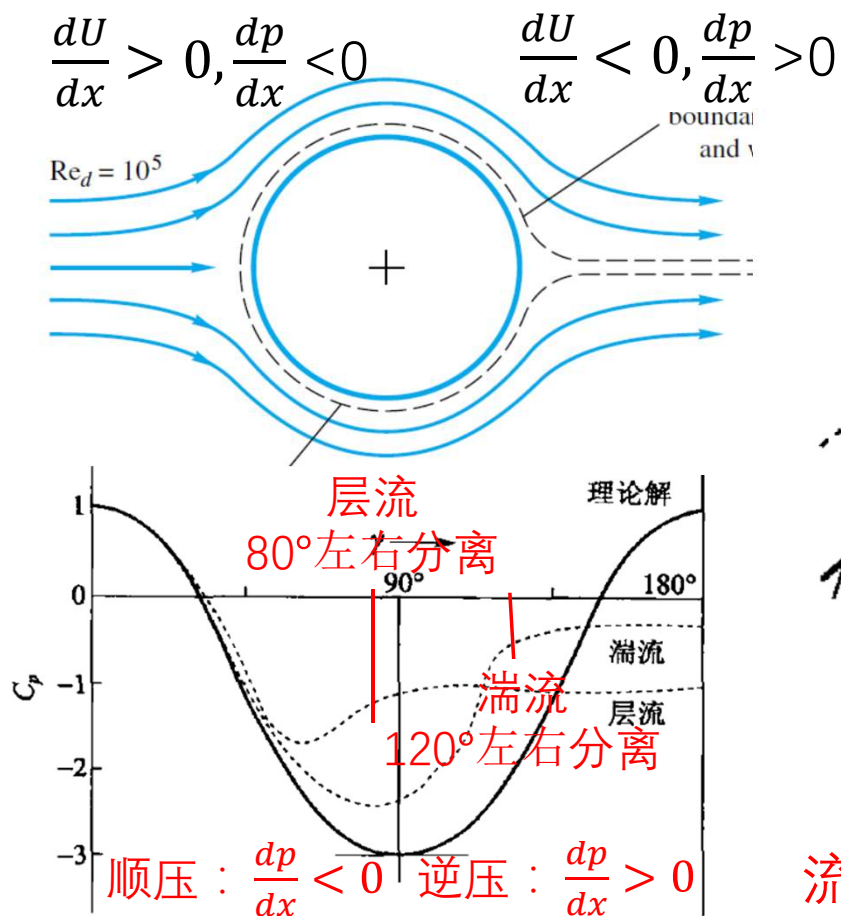
6.8 曲面边界层及边界层分离 (10.5)



主流区: $U \frac{dU}{dx} = -\rho \frac{dp}{dx}$



6.8 曲面边界层及边界层分离 (10.5)



分离点下游有回流、漩涡
 压强不变！

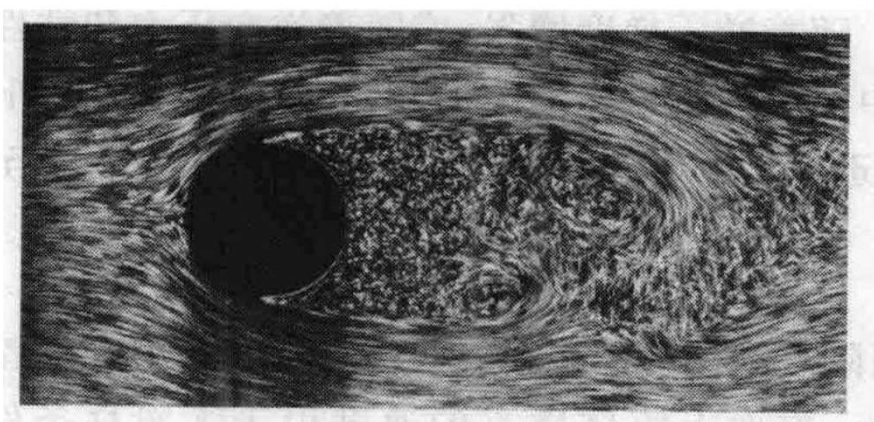
流动分离:
 粘性和逆压的共同作用！

6.8 曲面边界层及边界层分离 (10.5)

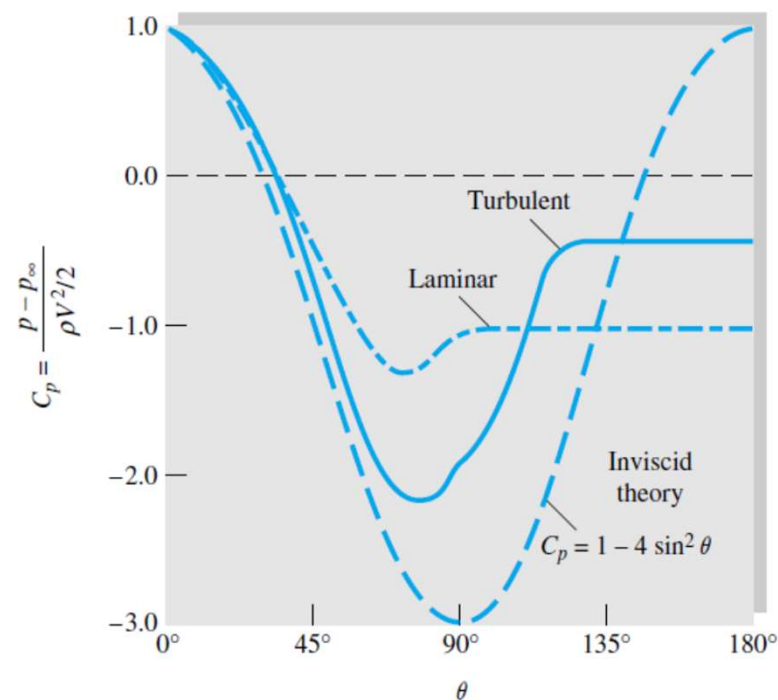
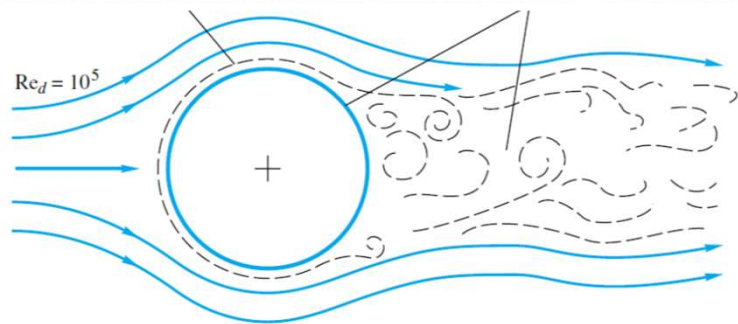
流动分离:粘性和逆压的共同作用！

分离点下游有回流、漩涡，压强不变！

层流：

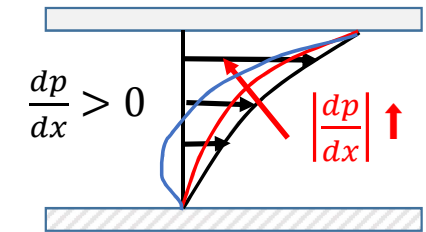
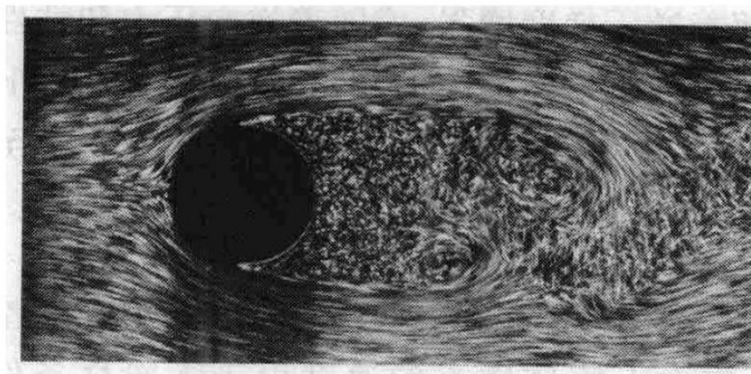
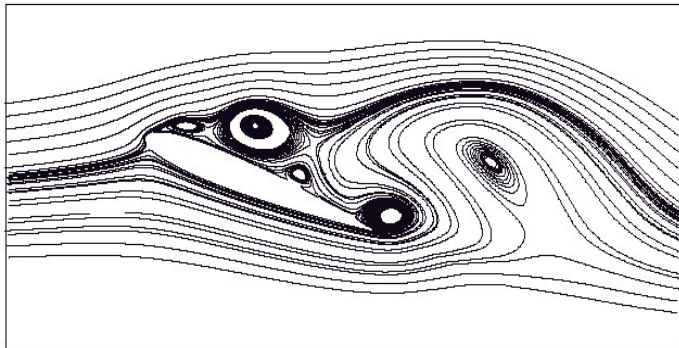
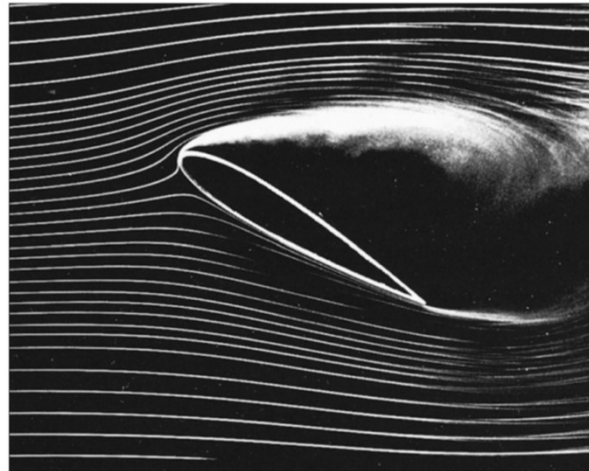
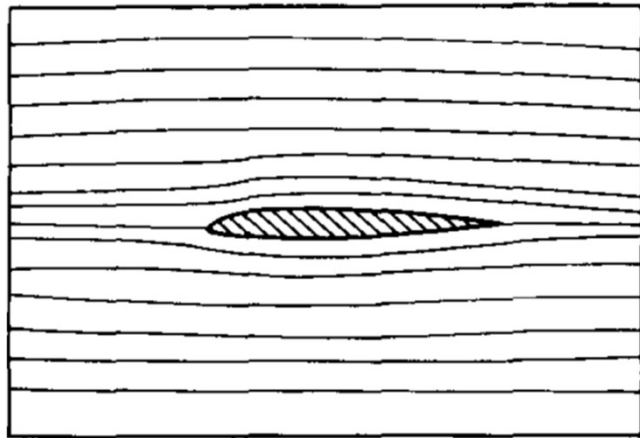


湍流：



湍流抗逆压梯度能力强！

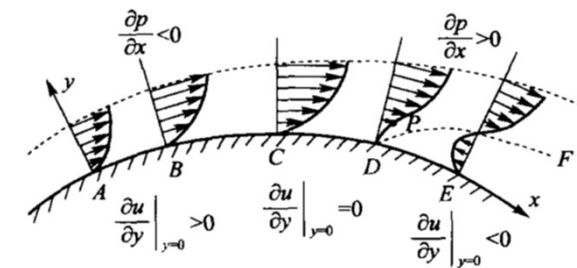
6.8 曲面边界层及边界层分离 (10.5)



$\frac{dp}{dx} > 0$, 增大到一定程度

→ 流动分离点: $\tau_w = 0$

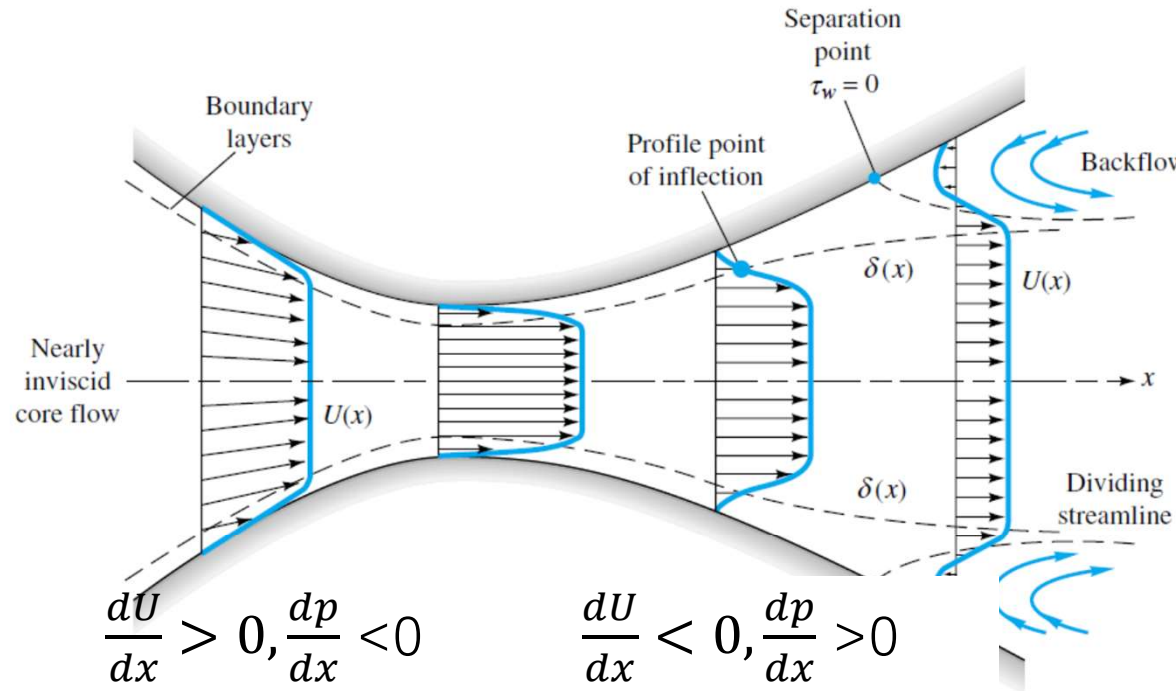
→ 分离



$\frac{dp}{dx}$, 壁面/流线
曲率决定分离点

6.8 曲面边界层及边界层分离 (10.5)

$\frac{dp}{dx}$, 壁面/流线曲率
决定分离点



$$\frac{dU}{dx} > 0, \frac{dp}{dx} < 0$$

$$\frac{dU}{dx} < 0, \frac{dp}{dx} > 0$$

Nozzle:
Decreasing
pressure
and area

Increasing
velocity

Favorable
gradient

Throat:
Constant
pressure
and area

Velocity
constant

Zero
gradient

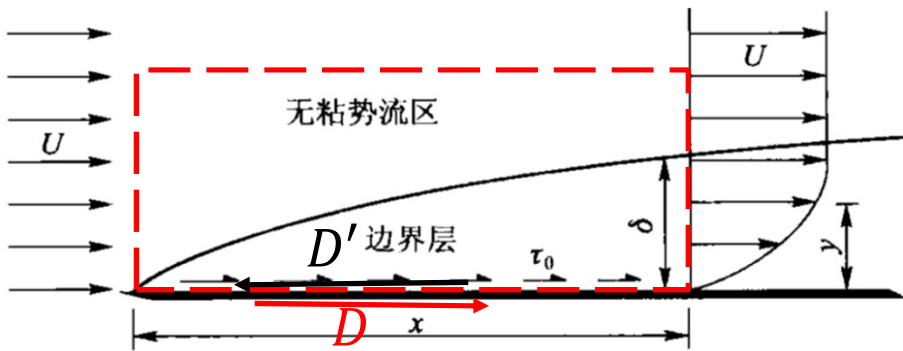
Diffuser:
Increasing pressure
and area

Decreasing velocity

Adverse gradient
(boundary layer thickens)

扩张通道内，壁面可能发生
流动分离，能量损失增加。
扩张角为关键参数！

6.9 扰流物体的阻力 (10.6)



从物体(固体)角度：

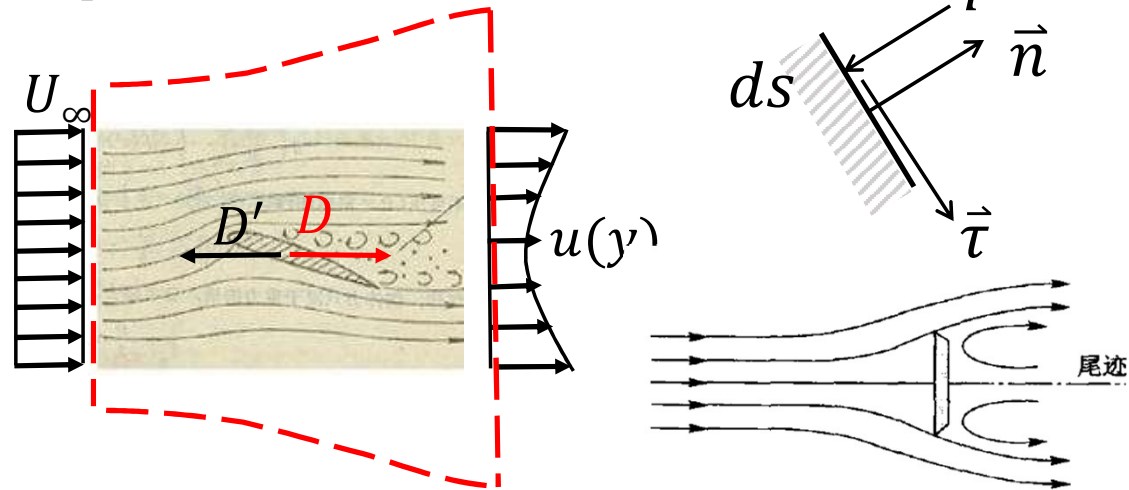
阻力 D 是壁面粘性力的积分；

从流动角度：

1. D 可由积分方法求出(流体动量损失) ;

$$2. C_D = \frac{D}{0.5\rho U^2 A} = f(Re), \text{ 实验得到 ;}$$

A 为迎风面积，润湿面积。



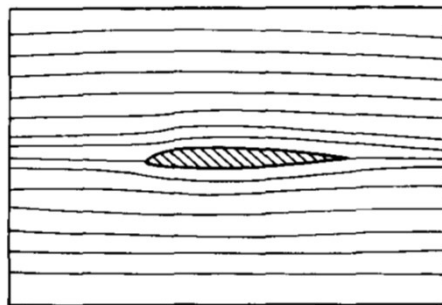
此处粘性力积分是否为阻力 D ??

阻力 D 为 p, τ 积分在运动方向的分量：

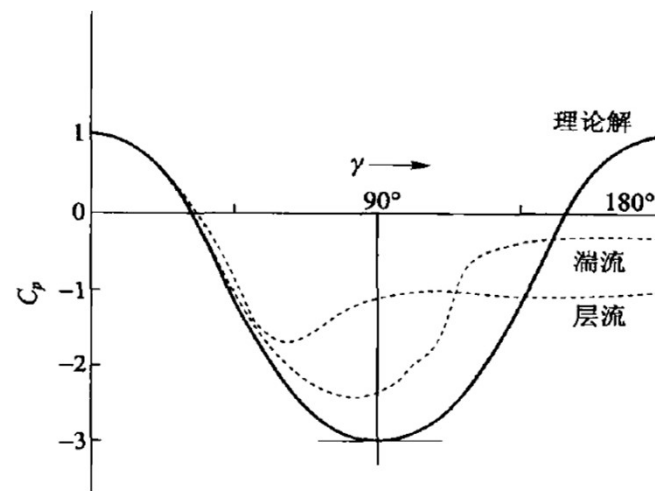
阻力 { 摩擦阻力 τ 积分
压差阻力 p 积分

6.9 扰流物体的阻力 (10.6)

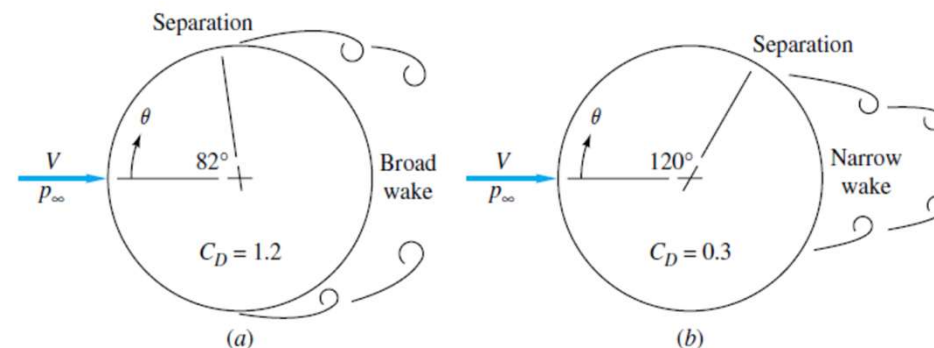
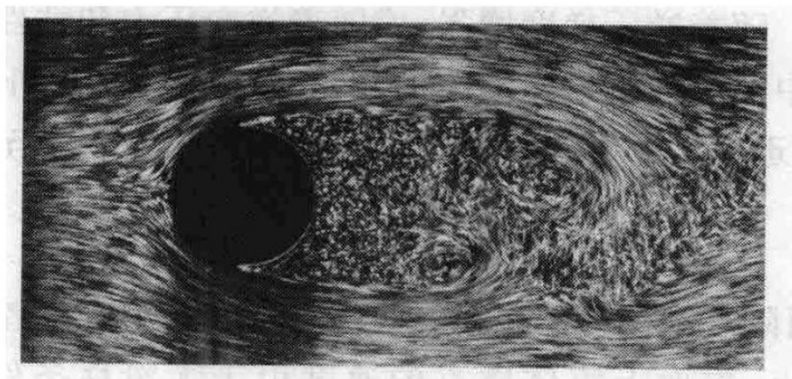
阻力 { 摩擦阻力
压差阻力



- 摩擦阻力： Re 小时占比大，流线型物体占比大
- 压差阻力：主要由流动分离引起，与尾迹区大小，分离点位置有关，也称**形状阻力**。

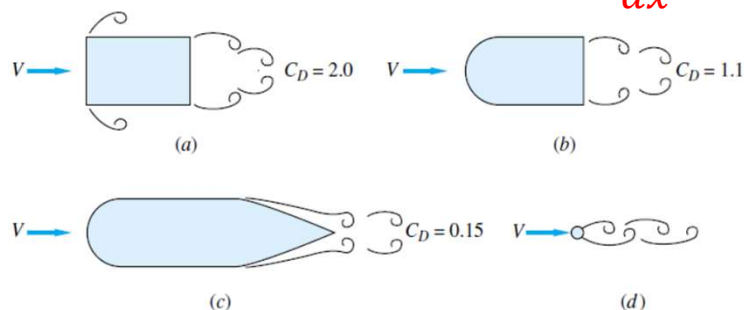


6.9 扰流物体的阻力 (10.6)

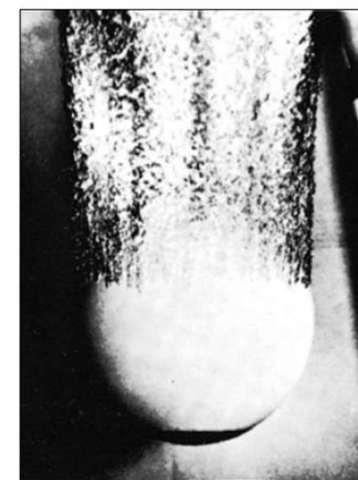


➤ 压差阻力(形状阻力)：流动分离引起，与尾迹区大小，分离点位置有关。
减小流动分离区→减小阻力！

1. 层流→湍流；(增加表面粗糙度)
2. 改变形状(钝体→流线型)。



(a)



(b)

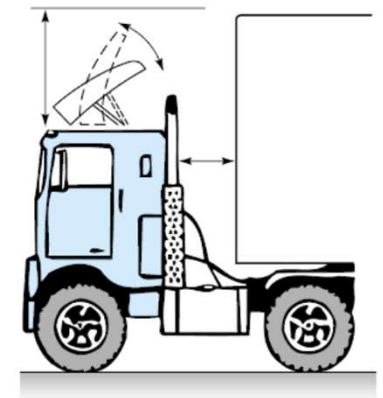
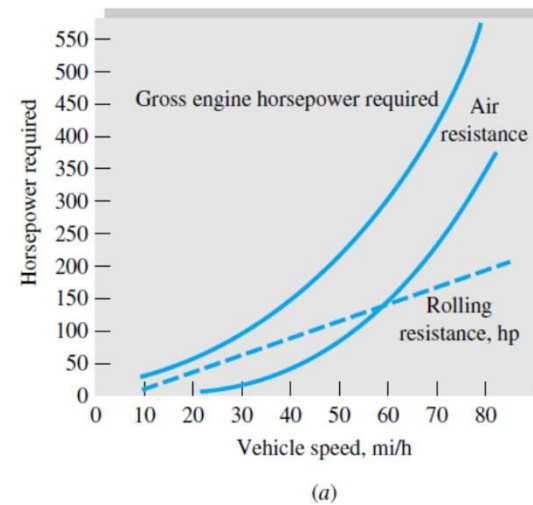
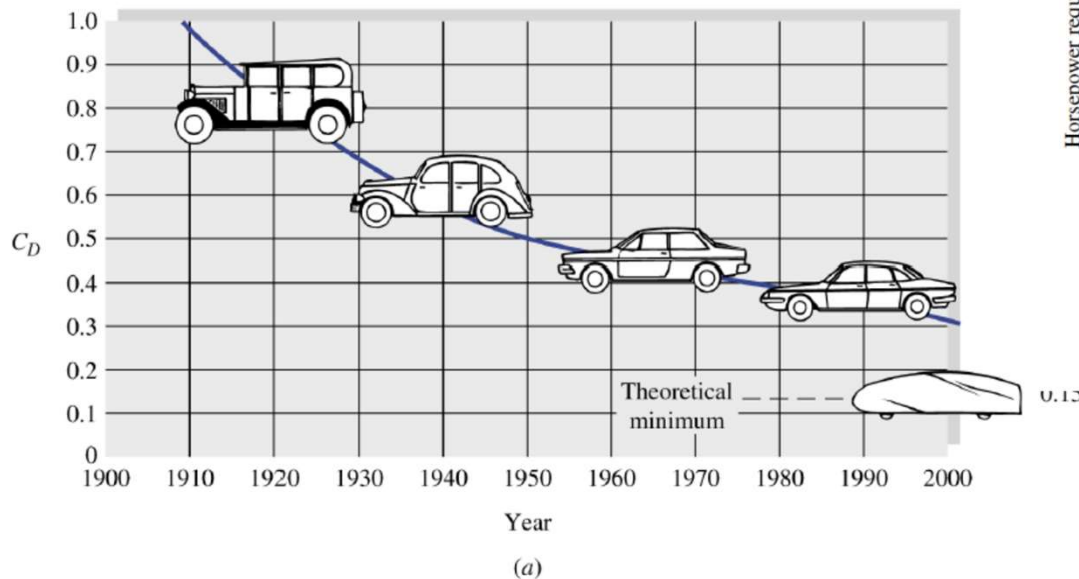
6.9 扰流物体的阻力 (10.6)

➤ 压差阻力(形状阻力)：流动分离引起，与尾迹区大小，分离点位置有关。

减小流动分离区→减小阻力！

$\frac{dp}{dx}$ ，壁面/流线曲率决定分离点。

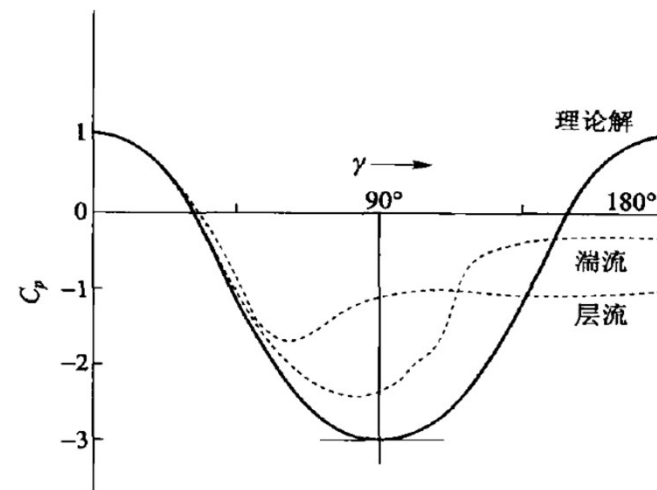
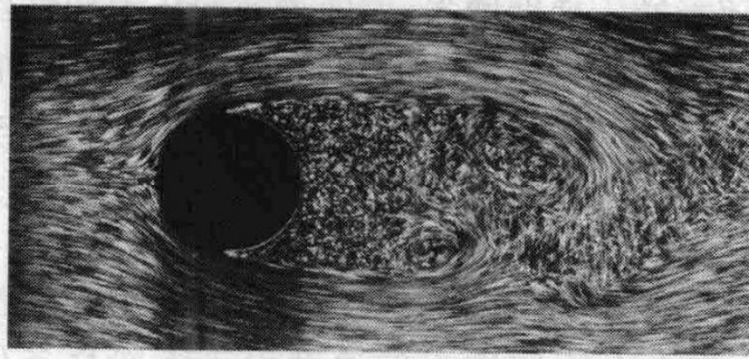
1. 层流→湍流；
2. 改变形状(钝体→流线型)。



$C_D \approx 1.0$,
调整挡风板，可减小20%。

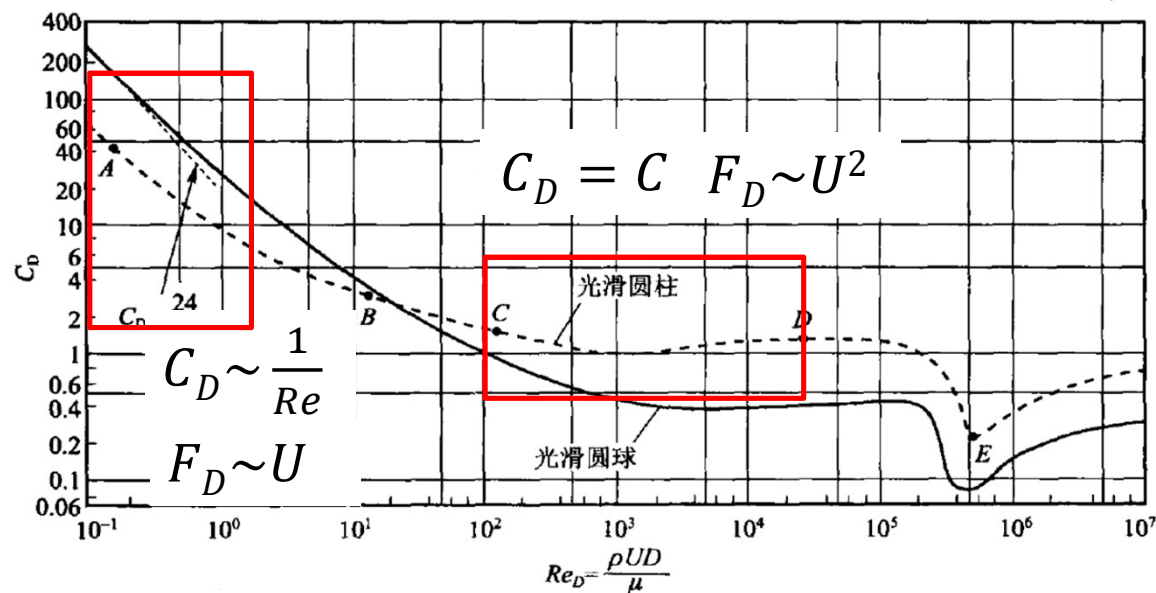
6.9 扰流物体的阻力 (10.6)

阻力 { 摩擦阻力
压差阻力



➤ $C_D \sim Re$ 关系：

1. $Re \sim 1$, 粘性力大, $C_D \sim \frac{1}{Re}$
2. $Re \uparrow$, 粘性 \downarrow , 压差阻力 \uparrow
 $10^3 < Re < 10^5$, C_D 不变,
层流分离, 压差阻力占比95%。
3. $10^5 < Re < 10^7$, 层流 \rightarrow 湍流
分离点后移, C_D 减小!



6.9 扰流物体的阻力 (10.6)

➤ 粗糙度影响：

1. 对钝体：

增加表面粗糙度→层流变湍流

→分离区减小→阻力减小。

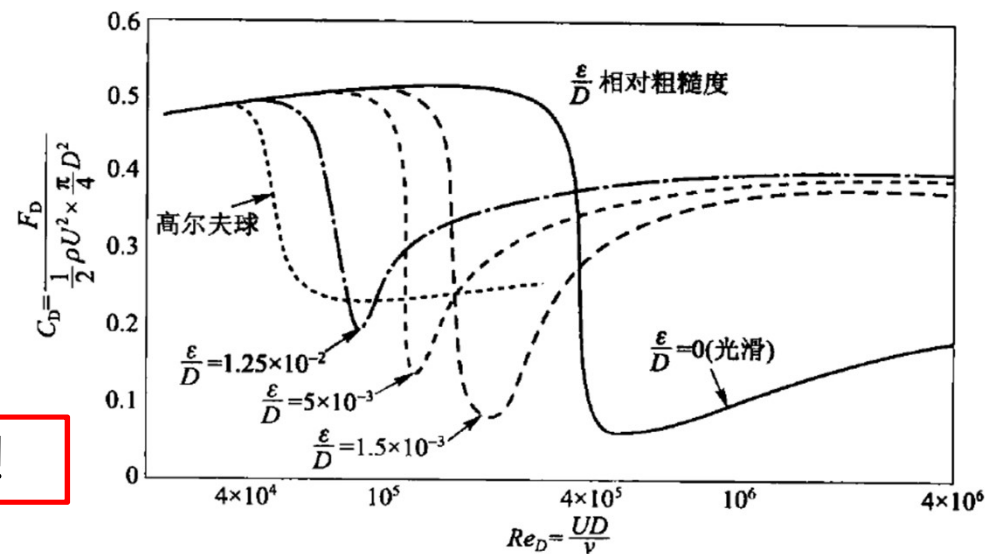
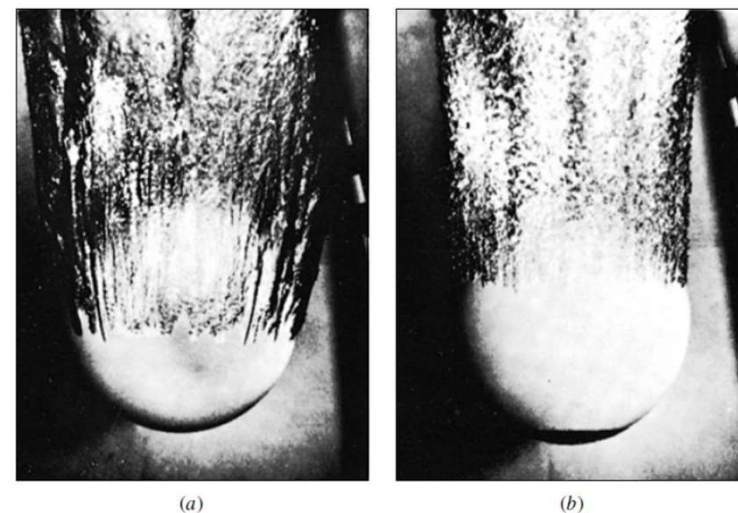
有凹坑的高尔夫球 $C_D \approx 0.25$ ，
为光滑圆球 C_D 的1/2。

2. 对流线型物体：

增加表面粗糙度→ $\tau \uparrow$ ， $C_D \uparrow$ ，

尽量光滑，减小 τ

阅读p408~423，边界层分离、扰流阻力！

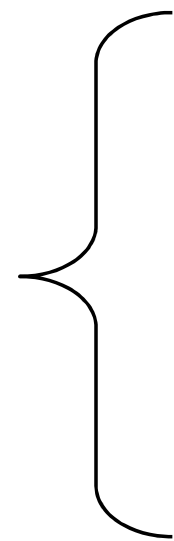


作业：

复习笔记！

10.27, 10.32

八. 无粘不可压势流 (8. 1–8. 4)



势流、势函数
流函数
基本平面势流
叠加复杂流动

8.1 势流、速度势函数 (8.1)

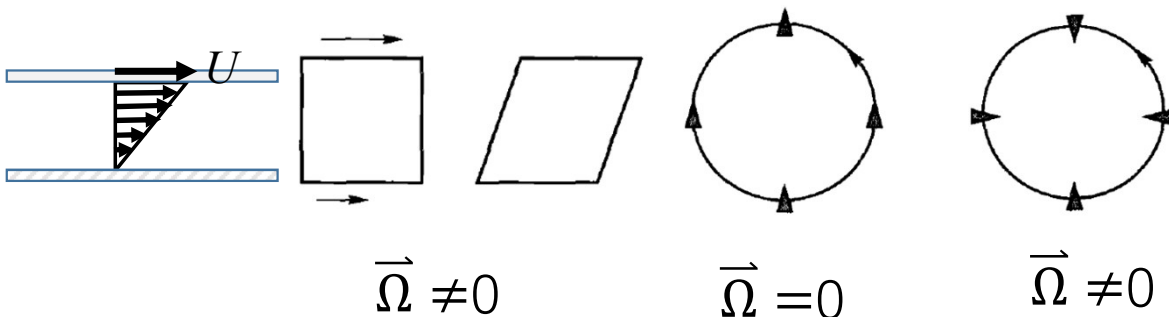
扰流物体边界层外
理想流均为势流！?

1. 势流：无旋流动！(速度场控制方程特殊，有解析解)

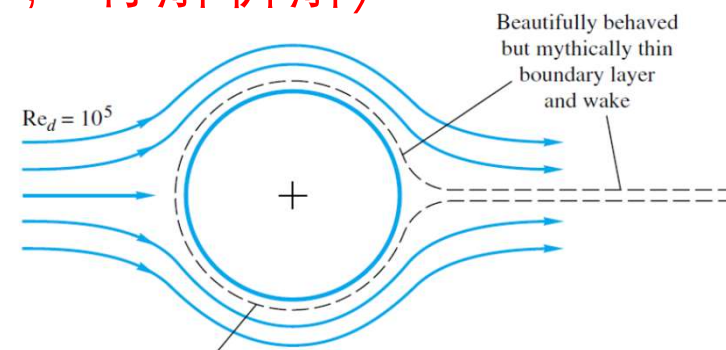
potential irrotational

$$\vec{\Omega} = \vec{\nabla} \times \vec{V} = 0$$

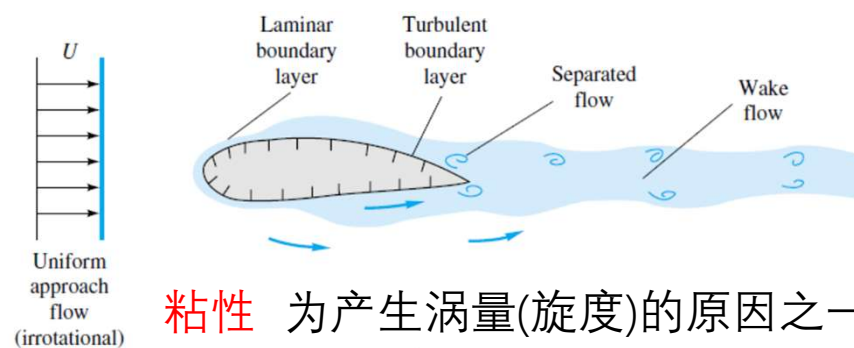
流体微团绕自身旋转角速度： $\vec{\omega} = \frac{1}{2} \vec{\Omega}$



- 流体微团所受力偶为0时，其 $\vec{\omega}$ 、 $\vec{\Omega}$ 不变；
- 压力、重力对微团中心力矩为0；
- 理想流粘性力为0 \rightarrow 微团受力偶为0；



均匀来流无旋 \rightarrow 理想扰流无旋！



粘性 为产生涡量(旋度)的原因之一。